

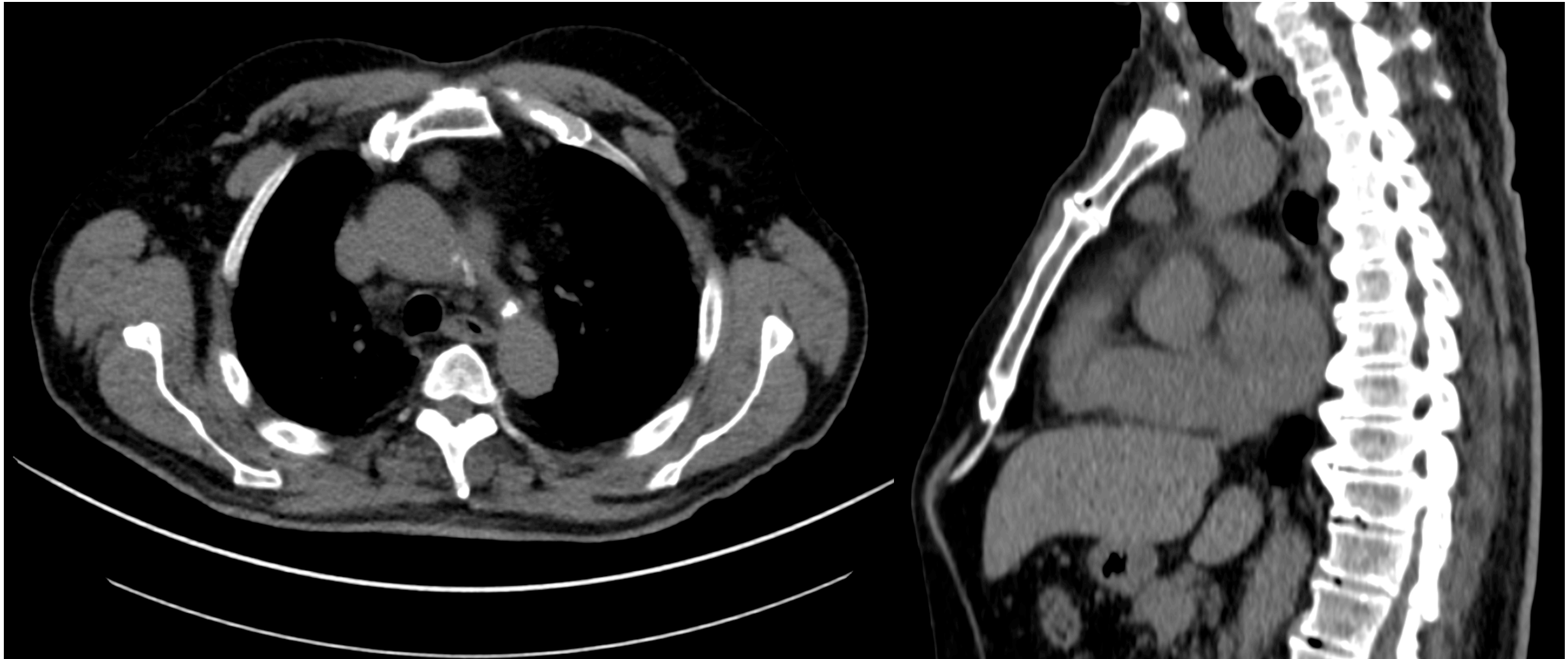
# Une lésion médiastinale

Cas clinique  
AFRINN 2019

Kevin Prigent  
Interne en Médecine Nucléaire  
CHU de Caen

- Homme 74 ans
- Dyspnée
- ATCD : PID non étiquetée ; HBP ; Hyperuricémie
- FDRCV : 10 PA

Taille : 20\*20 mm ; Densité moyenne 27 UH



- **Vous décrivez au scanner non injecté une lésion correspondant à :**
- A) Masse médiastinale antéro-inférieure de densité graisseuse
- B) Masse médiastinale moyenne de densité tissulaire
- C) Masse médiastinale antérieure de densité graisseuse
- D) Nodule médiastinal antéro-supérieur de densité tissulaire
- E) Adénopathie médiastinale pré-vasculaire (secteur 3A)

- Vous décrivez au scanner non injecté une lésion correspondant à :
- A) Masse médiastinale antéro-inférieure de densité grasseuse
- B) Masse médiastinale moyenne de densité tissulaire
- C) Masse médiastinale antérieure de densité grasseuse
- D) Nodule médiastinal antéro-supérieur de densité tissulaire
- E) Adénopathie médiastinale pré-vasculaire (secteur 3A)

- **Vous évoquez des hypothèses diagnostiques :**
- A) Lymphome
- B) Récessus péricardique
- C) Tumeur thymique
- D) Tumeur germinale
- E) Lipome

- Vous évoquez des hypothèses diagnostiques :

- A) Lymphome

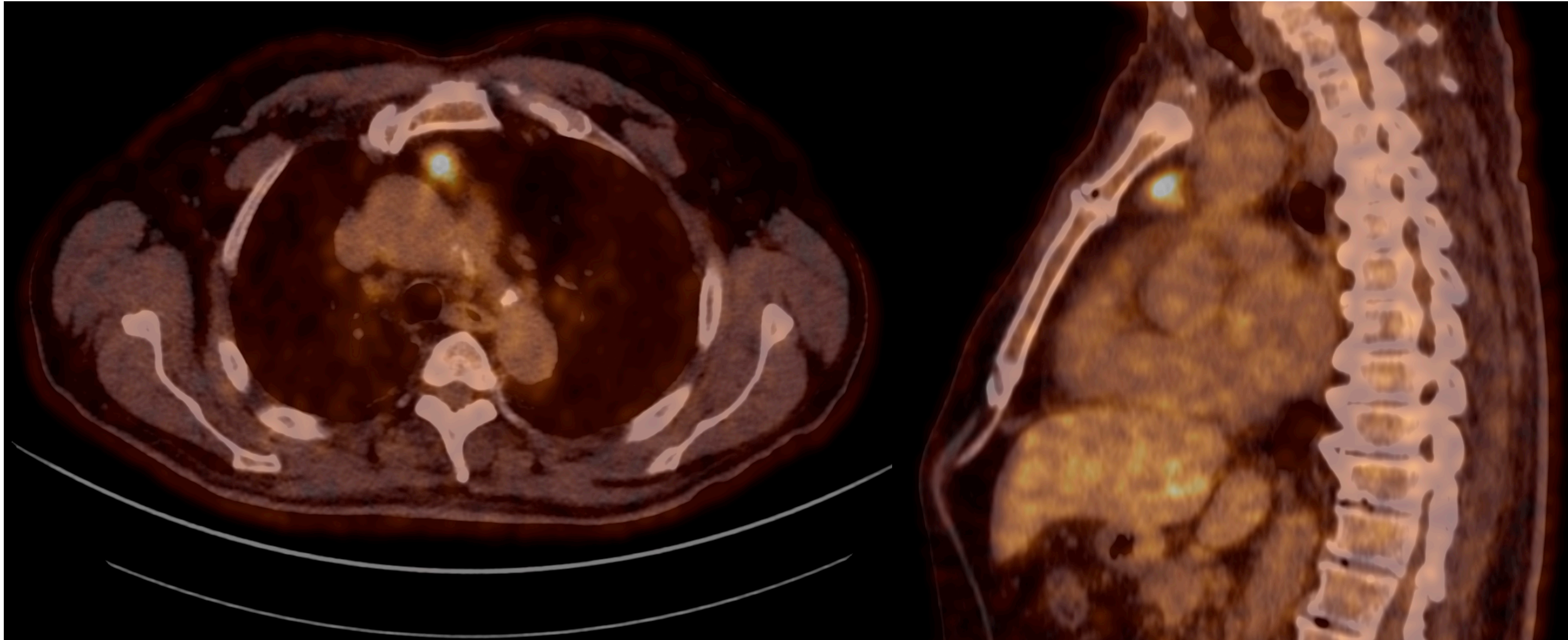
- B) Récessus péricardique

- C) Tumeur thymique

- D) Tumeur germinale

- E) Lipome

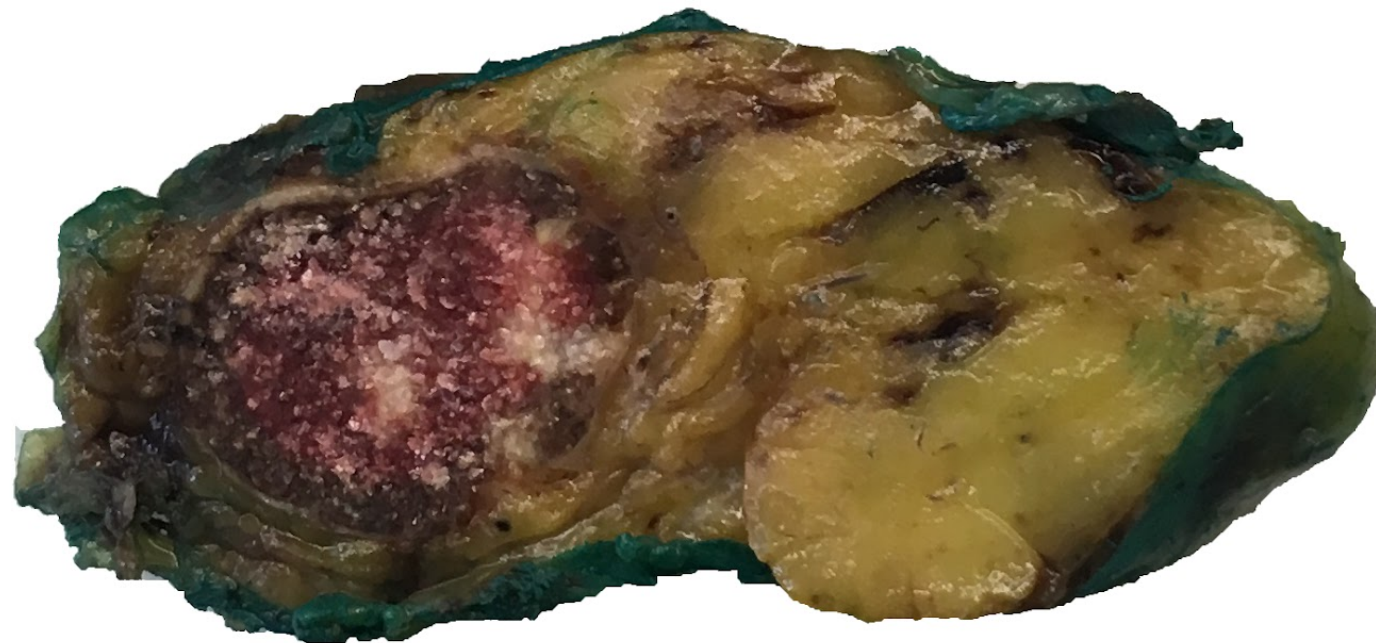
SUVmax<sub>EARL</sub> = 5,3

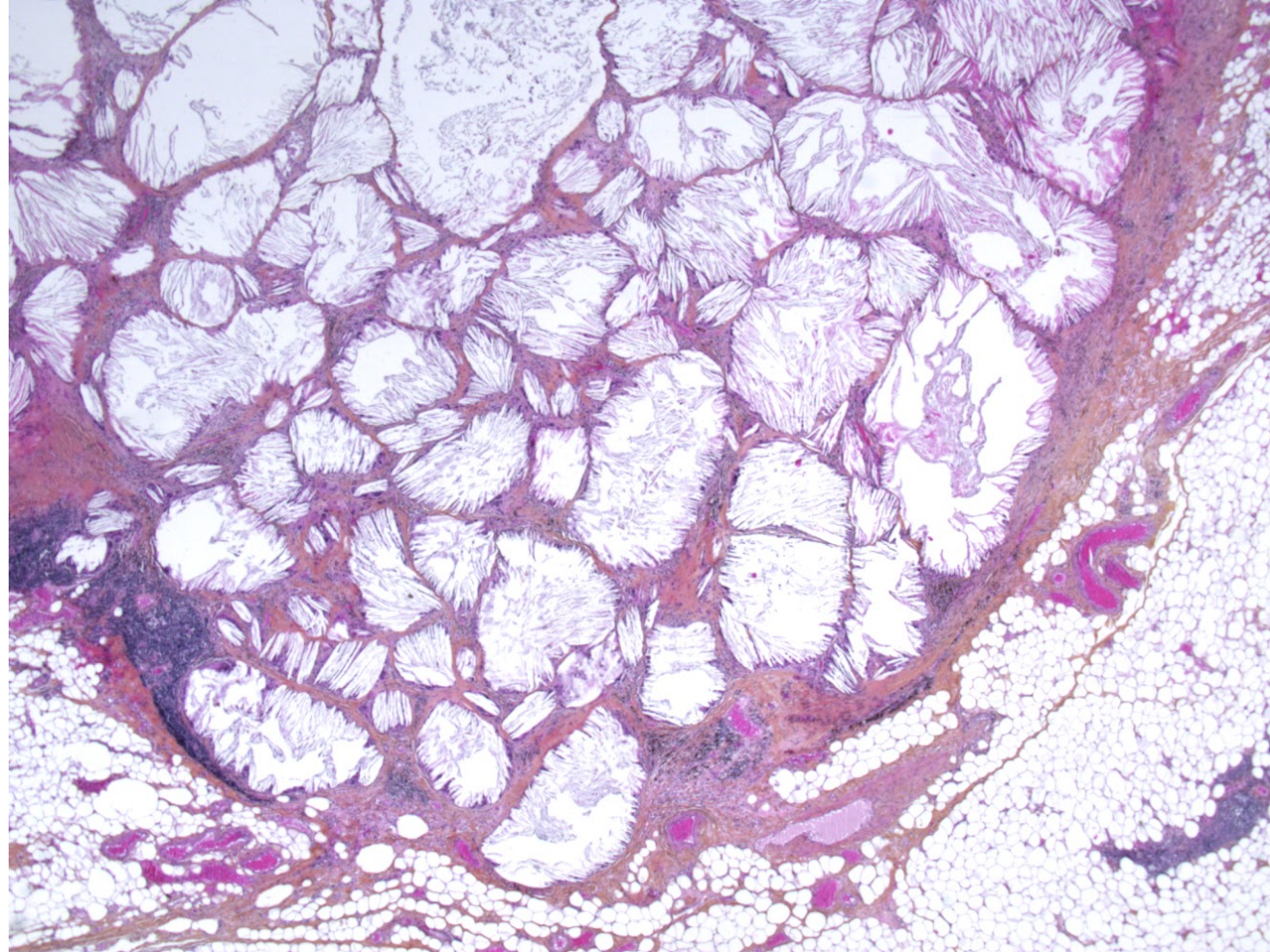




- **En conclusion l'aspect TEP est compatible avec :**
- A) Lymphome de stade I
- B) Lymphome de stade IV
- C) Séminome
- D) Adénopathie médiastinale 3A
- E) Thymome

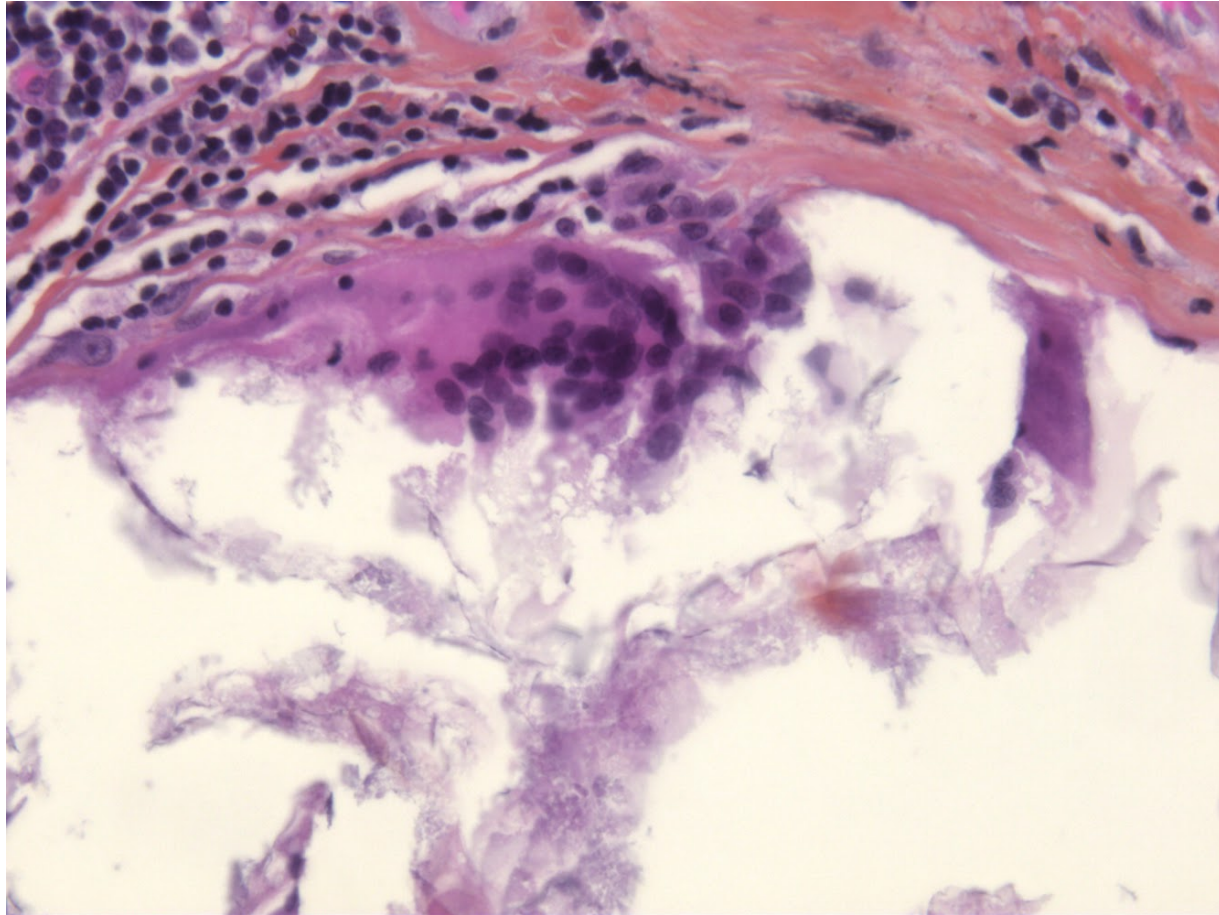
- En conclusion l'aspect TEP est compatible avec :
- A) Lymphome de stade I
- B) Lymphome de stade IV
- C) Séminome
- D) Adénopathie médiastinale 3A
- E) Thymome



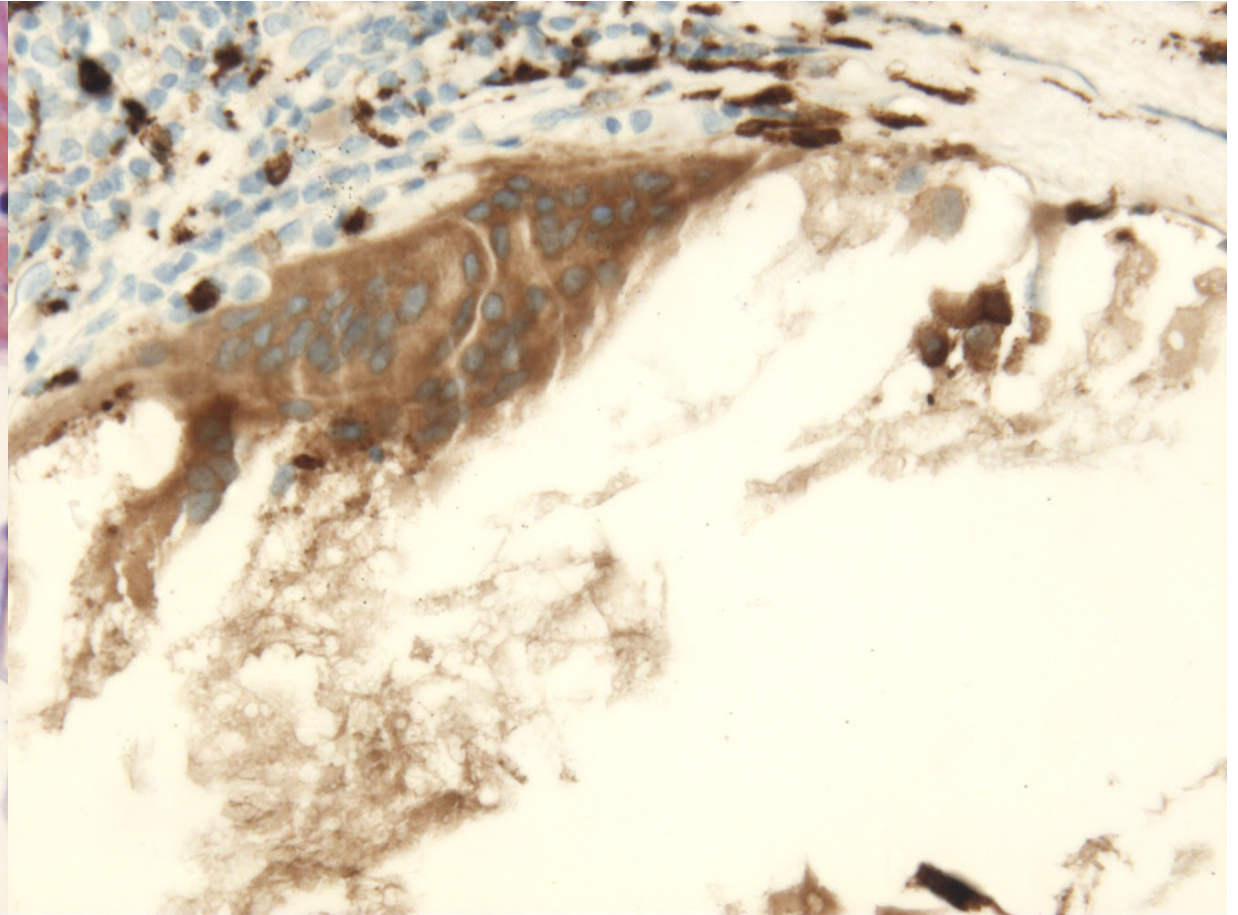


X 40





X 400



X 400

**Un diagnostic ?**


## **Tophus goutteux médiastinal**

- Articulaire
- 160 HU
- Goutte
- FDG positif : macrophage

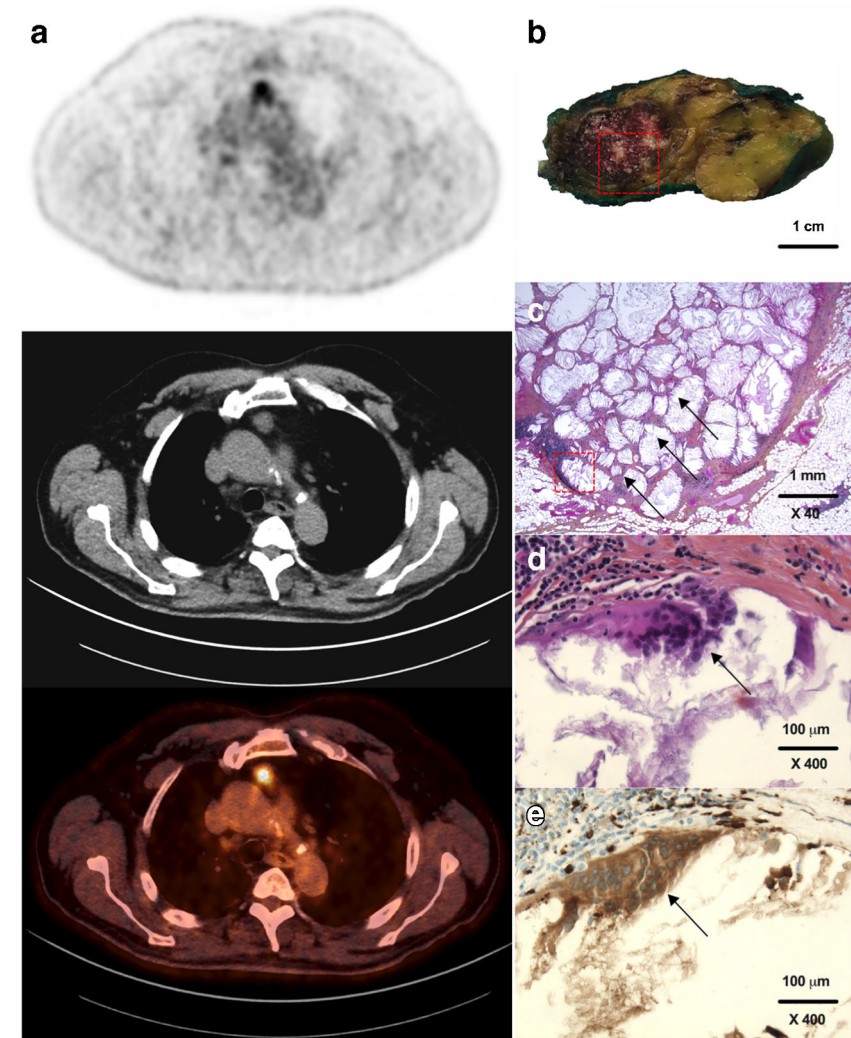




## Atypical gouty mediastinal tophus mimicking thymoma on $^{18}\text{F}$ -FDG PET/CT

Kevin Prigent<sup>1,2</sup>  • Bastien Jean-Jacques<sup>3</sup> • Maxime Heyndrickx<sup>4</sup> • Jean Jacques Michels<sup>3</sup> • Nicolas Aide<sup>1</sup>

Received: 13 June 2019 / Accepted: 29 July 2019  
© Springer-Verlag GmbH Germany, part of Springer Nature 2019



**Merci de votre attention**